

УДК 621.919

**П. М. Єрьомін**, здобувач;  
**Я. Б. Немировський, О. В. Чернявський**, кандидати технічних наук

*Кіровоградський національний технічний університет, м. Кіровоград, Україна*

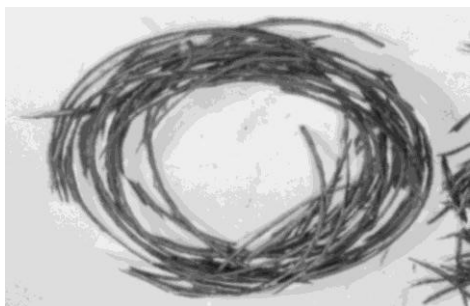
## СПОСІБ ПОДІЛУ СТРУЖКИ ПРИ КОМБІНОВАНОМУ ПРОТЯГУВАННІ ДЕТАЛЕЙ ІЗ ЧАВУНІВ

*В статті досліджені умови попереднього деформування оброблюваної поверхні деталі за допомогою деформуючих елементів із стружкоподільчими канавками з метою забезпечення ефективного поділу стружки на окремі елементи при роботі наступного ріжучого зубця. Запропонована конструкція комбінованої протяжки та проведені випробування її працевдатності при обробці отворів у втулках із сірого чавуну.*

**Ключові слова:** комбіноване протягування, чавун, поділ стружки, пластична деформація

### Вступ

Аналіз існуючих конструкцій протяжок, які застосовуються для обробки круглих отворів та мають один ріжучий зубець без канавок для поділу стружки [1-3] показали істотний недолік конструкції, а саме – утворення у замкненому об’ємі кільцеподібної стружки, що практично не розділяється на частині (рис. 1).



*Рис. 1. Кільцеподібна стружка*

Для видалення такої стружки необхідне використання допоміжного інструмента і витрат часу. Ріжучі зубці з конструктивними канавками для поділу стружки мають низьку стійкість [4], що стимує їх застосування в промисловості. Тому, в удосконалених конструкціях протяжок з одного боку потрібно забезпечити ефективний поділ стружки, а з другого – підвищити стійкість ріжучих зубців за рахунок використання суцільних лез.

Відома конструкція протяжки [5], серед особливостей якої є внутрішнє підведення у зону різання

мастильно-охолоджуючої рідини під тиском і наявність на напрямному блоці конструктивних елементів, що призначенні для поділу стружки. Випробування показали, що така протяжка дозволяє покращити поділ замкнутої кільцеподібної стружки на окремі елементи. Подальшим розвитком конструкції стала наявність ріжучого зуба, який розвернутий проти робочого ходу інструмента і розташований в зоні хвилі позаконтактної деформації. Але, при такій конструкції стружкова канавка також закрита, елементи для поділу стружки відсутні. Виходячи із цього, підвищення ефективності обробки отворів деталей із чавунів комбінованим протягуванням шляхом забезпечення стійкості суцільних ріжучих елементів за рахунок ефективного поділу стружки є актуальною задачею.

Мета роботи полягала в забезпеченні ефективного поділу стружки на окремі частки при роботі ріжучого зубця протяжки за рахунок вичерпання ресурсу пластичності чавуну при попередній обробці деформуючими елементами із стружкоподільчими канавками.

### Результати дослідження та обговорення

Основною гіпотезою для вирішення цієї проблеми було використання низького ресурсу пластичності оброблюваного матеріалу деталі – чавуну, а саме створення таких умов деформації, при яких відбувається вичерпання ресурсу пластичності, що приведе до його руйнування. Нашиими дослідженнями встановлено наступне:

– при деформуючому протягуванні деталей із чавуну має місце значна пластична деформація поверхневого шару, про що свідчить наявність валику із металу перед деформуючим елементом. Такий валик збільшує ширину контакту з ростом товщини стінки оброблюваної деталі  $t_0$ . Результатом цього при перших циклах деформування є інтенсивне зниження шорсткості оброблюваної поверхні та її

зміцнення за рахунок пластичних складових. Вичерпання ресурсу пластичності чавуну приводить до його руйнування, що враховуючи дані процесу стружкоутворення, полегшує процес різання;

– для зрізання зруйнованого шару потрібні значно менші зусилля, при цьому перед ріжучим зубцем протяжки утворюється елементна стружка у вигляді окремих елементів. Такий інструмент доцільно використовувати при чорновій обробці і знятті припуску, розмір якого не перевищує товщину лущеного шару.

На підставі аналізу вищеперелічених конструкцій авторами була запропонована конструкція секції комбінованої протяжки, що може знімати припуск, розміри якого перевищують товщину зруйнованого шару [6]. При цьому шар, що зрізується, буде перетворюватися в дрібнозернисту стружку, видалення якої не становить утруднень. При зрізанні шару металу, розташованого під зруйнованим шаром, буде утворюватися кільцеподібна стружка, видалення якої утруднене. Науковою основою цієї конструкції є наступні положення.

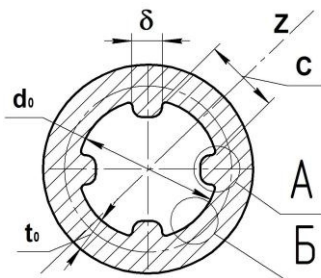


Рис. 2. Схема розташування ділянок на обробленій поверхні втулки: А – нездеформована зона; Б – здеформована зона

Розглянемо випадок віссиметричного розташування на поперечному перерізі заготовок чотирьох нездеформованих ділянок, які отримуються конструктивними особливостями інструменту для роздачі (рис. 2).

Розріз заготовки має чотири здеформовані ділянки довжиною  $C$  та чотири нездеформовані довжиною  $\delta$ . На вісі  $z$ , що розташована поміж двома суміжними ділянками з міркувань симетрії матеріальні точки будуть переміщуватись уздовж цієї ж вісі  $z$ . Таким чином, в цьому меридіальному перерізі умови деформування при малих деформаціях, що використовуються, відповідають віссиметричній роздачі труби внутрішнім тиском. Досліди показали, що на всій пластичній ділянці довжиною  $C$  при деформуванні відбувається рівномірне зменшення товщини стінки із початковою товщиною  $t_0$ . Це дозволяє у подальших розрахунках використовувати припущення, що на всій пластичній ділянці схеми деформування відповідає віссиметричній схемі деформування рівножорсткої труби. Розрахуємо ступінь деформування пластичної ділянці при роздачі отвору заготовки із натягом  $a$ .

Виконаємо розрахунок для середнього перерізу заготовки, достатньо віддаленого від торців деталі довжиною  $L$ . Це дозволяє нам вважати, що там має місце плоска деформація  $l_z \left( z = \frac{l}{2} \right) = 0$ .

Початкова довжина кола оброблюваного отвору

$$C_0 = \pi \cdot d_0 - 4 \cdot \delta \quad (1.1)$$

Після роздачі довжина здеформованої ділянки

$$C_0 = \pi \cdot (d_0 + a) - 4 \cdot \delta \quad (1.2)$$

Тоді окружність деформування

$$l_\varphi = \ln \left( \frac{C_1}{C_0} \right) \quad (1.3)$$

В нашому випадку, при використанні малих деформацій

$$l_\varphi = \frac{\pi \cdot a}{\pi \cdot d_0 - 4 \cdot \delta} = \frac{\varepsilon}{\left( 1 - \frac{4 \cdot \delta}{\pi \cdot d_0} \right)} \quad (1.4)$$

Для звичайного випадку роздачі деформація буде дорівнювати

$$l_{\varphi_0} = \frac{a}{d_0} = \varepsilon \quad (1.5)$$

Порівнюючи вирази (1.4) та (1.5) ми бачимо, що обробка із дискретним деформуванням вносить зміни у здеформований стан заготовки, обробленої звичайним інструментом. Врахуємо ці зміни наступним чином. Проаналізувавши відношення поміж  $l_\phi$  та  $l_{\phi_0}$  отримаємо наступний вираз:

Позначимо у виразі (1.4):  $\beta$  – параметр дискретності пластичного деформування

$$\beta = \frac{4 \cdot \delta}{\pi \cdot d_0}$$

Тоді

$$\frac{l_\phi}{l_{\phi_0}} = \frac{1}{1 - \beta} \quad 1.7)$$

На рисунку 3 представлено залежність (1.7), із якої слідує, що наявність дискретного деформування надає суттєвій вплив на здеформований стан заготовки, а саме його наявність викликає збільшення колових деформацій розтягу.

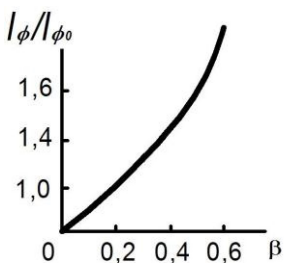


Рис. 3. Залежність  $\frac{l_\phi}{l_{\phi_0}}$  від

довжини нездеформованої ділянки у поперечному перерізі оброблюваної заготовки

Тому, при виборі довжини нездеформованих ділянок необхідно враховувати той факт, що вони ініціюють виникнення таких ознак, як вичерпання ресурсу пластичності або втрату стійкості матеріалу у вигляді локальних тріщин на здеформованих ділянках.

В нашому випадку інтенсифікація вичерпання ресурсу пластичності дозволить вирішити важливе завдання – за рахунок дискретного деформування забезпечити поділ кільцевої стружки. Як вказувалось раніше, чавун є малопластичним матеріалом і невелика пластична деформація може привести до його руйнування. Тому, для того, щоб відбулося руйнування стружки по периметру, потрібно попередньо ініціювати місця її руйнування. В цьому випадку попередньо пластичну деформацію отвору необхідно здійснювати елементом із виконаними на ньому канавками (рис. 4).

Ці канавки дозволяють створювати частини дискретного пластичного деформування. Згідно даних [7], що були присвячені дослідженням напружене-деформованого стану при деформуванні пластичних матеріалів зі значною товщиною стінки деталі у осередку деформації, разом із умовами, близькими до всебічного стискання в місці переходу від контактної ділянки до позаконтактної мають місце значні осьові напруження розтягу  $\sigma_z$ . Такі напруження призводять до різкого вичерпання ресурсу пластичності в тих місцях, де здеформована ділянка переходить до нездеформованої і де буде відбуватися руйнування кільцевої стружки на сегменти. Таке явище полегшує процес видаленні стружки із зони різання.

На основі наведеного вище нами розроблена вдосконалена конструкція деформуюче-ріжучої протяжки для примусового подрібнення кільцеподібної стружки по периметру деформуючих елементів [8]. Така конструкція враховує всі попередні рекомендації, а також дозволяє використовувати зворотній хід інструмента як робочий. Для цього додатковий ріжучий елемент встановлюють проти робочого хода таким чином, щоб розташований перед ним додатковий деформуючий елемент центрував його відносно оброблюваного отвору. Розміщення ріжучих елементів між деформуючими стабілізує процес різання, зменшує вібрації інструмента та збільшує якість обробки. Додатковий ріжучий елемент віддалений від деформуючого на таку відстань, що дорівнює відстані до максимуму хвилі позаконтактної деформації після нього. Це дозволяє вільно переміщуватися ріжучому елементу скрізь отвір заготовки під час прямого руху протяжки. Для створення ефективних умов різання на зворотному руху інструмента діаметр додаткового ріжучого зубця повинен бути не меншим ніж діаметр останнього деформуючого елемента.



Рис. 4. Деформуючий елемент із стружкоподільчими канавками

явище полегшує процес видаленні стружки із зони різання.

Така комбінована деформуюче-ріжуча протяжка була виготовлена у металі (рис. 5).

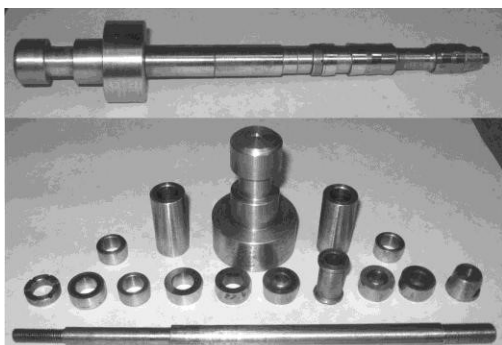


Рис. 5. Загальний вигляд комбінованої протяжки та її складові частини

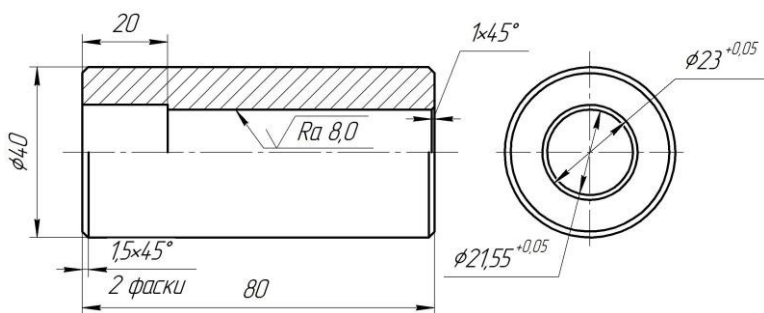


Рис. 6. Оброблювана втулка, матеріал СЧ20, HB 2,12 ГПа



Рис. 7. Робоча зона випробувальної машини УІМ-50 із встановленим дослідним інструментом

Дослідний інструмент за допомогою хвостовика спеціальної форми закріплювався у штоку гідравлічного циліндра машини. В процесі випробувань інструменту на оброблюваній поверхні втулки було зафіковано появу характерних повздовжніх виступів, які утворились після проходження двох ДЕ, на кожному із котрих було по чотири стружкоподільчих проточки. Зовнішній вигляд виступів наведено на рис. 8, а їх геометричні розміри складають: висота  $h=10\ldots25$  мкм, ширина  $b=4$  мм.

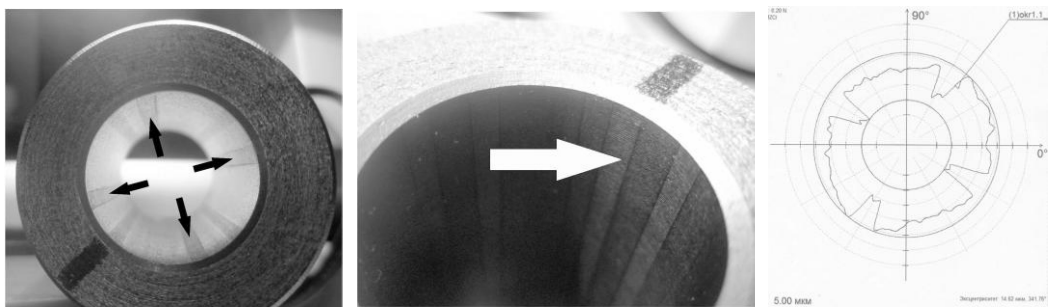


Рис. 8. Оброблена поверхня, отримана після проходження 2-х ДЕ із стружкоподільчими канавками

В процесі випробування інструменту були проведені спостережання за формуванням стружки. Як показано на рис. 9, під час зрізання потрібного припуску двома ріжучими зубцями утворюється кільцеподібна стружка, яка розламується на окремі елементи, максимальний розмір яких не перевищує відстані між стружколомними канавками, що розташовані на попередньому ДЕ.



Рис. 9. Зовнішній вид стружки, що утворилася після обробки дослідним інструментом

дозволяє виготовляти більш компактний інструмент;

3. За проведеними дослідженнями експериментально доведено підвищення ефективності обробки круглих отворів у чавунних деталях типу втулка у порівнянні із іншими методами обробки типу розвертання або ріжучого протягування звичайними протяжками.

*В статье исследованы условия предварительного деформирования обрабатываемой поверхности детали с помощью деформирующих элементов со стружкоделительными канавками с целью обеспечения эффективного разделения стружки на отдельные элементы при работе следующего режущего зубца. Предложена конструкция комбинированной протяжки и проведены испытания ее работоспособности при обработке отверстий во втулках из серого чугуна.*

**Ключевые слова:** комбинированное протягивание, чугун, деление стружки, пластическая деформация.

*In the article the conditions of the pre-treated surface deformation parts with deformation elements with chip division grooves to ensure effective separation of the individual elements on the chip when using the following cutting tooth. The improved design of the combined pulling and tested its efficiency in processing holes in the sleeves of cast iron.*

**Key words:** combined drawing, iron, chip division, plastic deformation.

### Література

1. Розенберг О. А., Студенец С. Ф., Мельниченко В. В. Особенности использования комбинированного протяжного инструмента для обработки внутренних полостей крупных чугунных цилиндров / Породоразрушающий и металлообрабатывающий инструмент – техника и технология его изготовления и применения: Сб. науч. тр. Вып. 11. – К.: Изд-во ИСМ им В. Н. Бакуля НАН Украины, 2008. – С. 428–433.
2. Розенберг О. А., Студенец С. Ф., Мельниченко В. В. Исследование процесса комбинированного протягивания гильз двигателей внутреннего сгорания из антифрикционных легированных чугунов / Сучасні технології в машинобудуванні: Зб. наук. пр. Вип. 4. – Харків.: Видав. Харків НТУ «ХПІ», 2010. – С. 161–169.
3. Чернявский А. В. Повышение эффективности обработки отверстий в деталях из чугуна деформирующими протягиванием: автореф. дис. на соискание степени канд. техн. наук спец. 05.03.01 «Процессы механической и физико-химической обработки, станки и инструмент» / – Киев, 1988. – 17 с.
4. Маргулис Д. К. Протяжки переменного резания / Москва–Свердловск: Машгиз, 1962 – 269 с.
5. О. А. Розенберг, Я.Б. Немировский, А.В. Чернявский Сборная твердосплавная протяжка для обработки гильз и цилиндров // Станки и инструмент. – 1986. – № 8. – С. 19–20.
6. Пат. 44522 Україна, МПК (2009) B23D 43/00 Секція комбінованої протяжки / Чернявський О. В., Єрьомін П. М. – Заявл. 06.04.2009; Опубл. 12.10.2009, Бюл. №19.
7. Цеханов Ю. А., Шейкин С. Е. Механика формообразования заготовок при деформирующем протягивании. – Воронеж: ВГТА, 2001. –203 с.
8. Пат. 45379 Україна, МПК (2009) B23D 43/00 Комбінована протяжка / Чернявський О. В., Єрьомін П. М., Коваленко О. В. – Заявл. 22.05.2009; Опубл. 10.11.2009, Бюл. № 21.

Надійшла 16.06.15